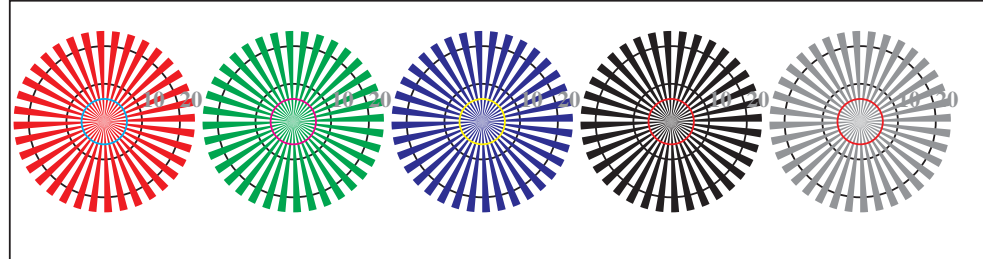
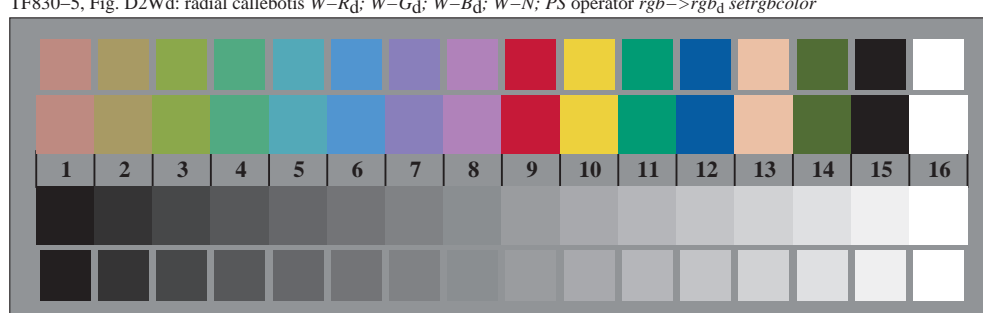




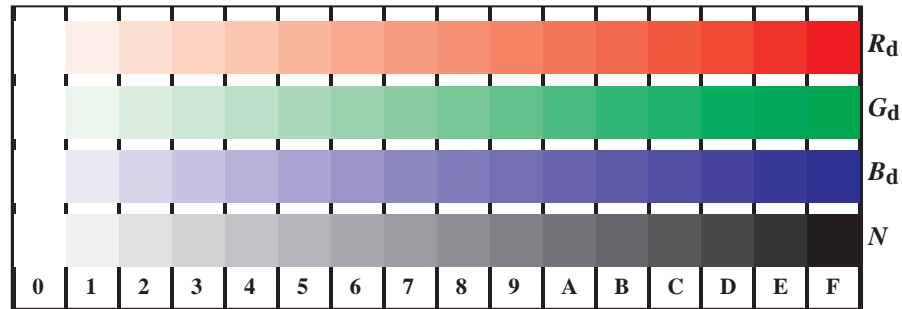
TF830-3, Fig. D1Wd: le motif fleuri, 14 CIE test couleurs et 2 + 16 gris étapes (sf); ; PS 4 colorimage



EE820 5 Fe D₂W₁ diatom, diatomite W₂ P₁ W₃ C₁ W₄ P₂ W₅ N₁ PS₁ *Leptothrix* sp. *Leptothrix* sp. *Leptothrix* sp.



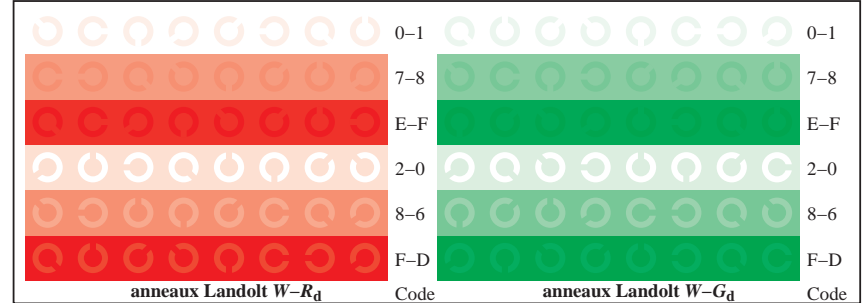
TF830-7, Fig. D3Wd: 14 CIE test couleurs et 2 + 16 gris étapes (sf); *rgb/cmy0->rgb_d setrgbcolor*



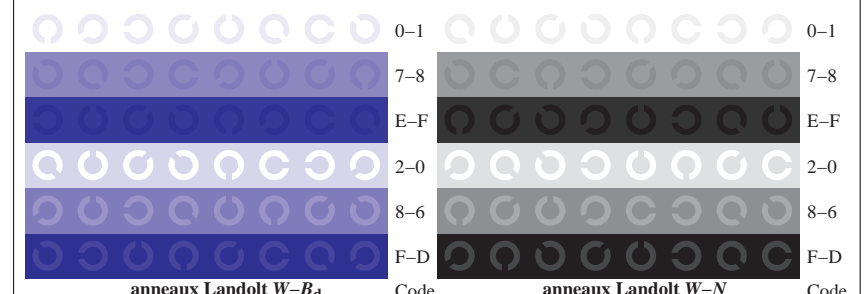
TF831-1, Fig. D4Wd: 16 équidistants étapes $W-R_d$; $W-G_d$; $W-B_d$; $W-N$; $rgb/cmy0 \rightarrow rgbd$ setrgbcolor

$+ \cdot \cdot$		lmno		pqrs		tuvw	
xyz;		hijk		lmno		pqrs	
tuvw		defg		hijk		tuvw	
pqrs		!abc		defg		xyz;	
lmno		+ - .		!abc		tuvw	
hijk		xyz;		defg		xyz;	
defg		tuvw		!abc		tuvw	
!abc		pqrs		+ - .		xyz;	
10		8		6			

TF831-3, Fig. D5Wd: code et Landolt anneau N ; R_d ; G_d ; B_d ; Z ; PS operator $rgb \rightarrow rgb_d$ setrgbcolor



TF831-5, Fig. D6Wd: anneaux Landolt $W-R_d$; $W-G_d$; PS operator $rgb \rightarrow rgb_d$ setrgbcolor



TF831-7, Fig. D7Wd: anneaux Landolt $W-B_d$; $W-N$; PS operator $rgb \rightarrow rgbd$ setrgbcolor